



Beynəlxalq Konfrans "Fizika-2005" International Conference "Fizika-2005" Международная Конференция "Fizika-2005"

7 - 9
İyun
June 2005
Июнь

№6
səhifə
page 35-39
стр.

Bakı, Azərbaycan

Baku, Azerbaijan

Баку, Азербайджан

ТЕОРИЯ РАССЕЙЯНИЯ НЕРЕЛЯТИВИСТИЧЕСКИХ ПРОТОНОВ НА ЯДРАХ

МИРАБУТАЛЫБОВ М.М.

*Азербайджанская Государственная Нефтяная Академия
г. Баку, пр. Азадлыг-20, AZ-1010, тел. 440 38 85.*

В рамках квазиклассики в ВЭП с искаженными волнами, на основе трехмерной формулировке в аналитическом виде получено выражение амплитуды рассеяние протонов промежуточных энергий на атомных ядрах. Как следствие короткодействующего характера протон нуклонного взаимодействия рассеяние протонов на ядрах, было представлено как последовательность однократных рассеянии. С помощью предложенного математического метода получена рекуррентная формула, которая позволяет выразить форм-фактора в искаженно-волнового через борновского и его производных. В результате анализа экспериментальных сечений по упругому рассеянию протонов с энергией 1ГэВ, определены параметры распределения протонов и нейтронов в сферических ядрах ^{40}Ca , ^{48}Ca , ^{90}Zr , ^{208}Pb , в частности, ширину поверхностного слоя нуклонов, среднеквадратичные радиусы распределения плотности протонов, нейтронов и материи. При этом для распределения плотности нуклонов была использована ферми-функция.

Для исследования пространственных характеристик атомных ядер в настоящее время существует много экспериментальных и теоретических методов, среди которых в первую очередь должны быть отмечены ядерные реакции, сопровождающиеся рассеянием электронов и протонов.

При изучении структуры ядер с помощью рассеянных электронов и протонов перед физиками-теоретиками ставятся две главные задачи: обязательно иметь более точную волновую функцию падающих возле ядра частиц и иметь возможность выбрать более реальные пробные функции распределения плотности протонов и нейтронов, а также переходных плотностей. Первая задача для случая рассеяния быстрых электронов на ядрах более приемлемо решена в эйкональном приближении в [1]. В этой работе достаточно точно получена амплитуда процесса и проведена вычисления для потенциала со ступенчатым распределением плотности зарядов (РПЗ). Сечение выражено аналитической формулой и хорошо согласуется с точными расчетами по методу фазового анализа (ФА).

Дальнейшая разработка этой теории для реалистического вида ферми-плотности проводились полюсным методом в работе [2]. Конкретные сравнения полученных результатов с ФА и экспериментом демонстрировали широкие возможности этой теории. Позже, с целью применения этой теории к произвольным вида РПЗ

нами в работе [3] предложен другой математический метод расчета амплитуды процесса. С помощью этого метода, амплитуда полученная в искаженно-волновом приближении выражается через более простой, т.е. плоско-волнового приближения. Это позволила нам получить хорошую точность для выполнения расчетов и сравнений сечений с экспериментом от легких до самых тяжелых ядер.

Успешно решение первой задачи в электронном рассеянии, очень помогает в удачном решении второй задачи, т.е. в правильном выборе функций протонного и нейтронного распределений.

Что же касается рассеяния протонов на ядрах, то здесь можно привести дифракционную теорию рассеяния, которая была сформулирована в 1959 году независимо друг от друга американским ученым Глаубером [4] и украинским ученым А.Г.Ситенко [5]. Это теория создана на основе эйконального подхода и справедлива в области малых динамических углов рассеяния. В связи с тем, что все взаимодействие перерассеянного протона с ядром, стоит в фазе амплитуды процесса, что намного упрощает построению теорию многократного рассеяния падающей частицы на нуклонах ядра мишени. Так называемая теория многократного рассеяния Глаубера-Ситенко в настоящее время находит большое применение. В работе [6] автору удалось на основе трехмерной квазиклассики получить явное выражение для амплитуды рассеяние нерелятивистических протонов.

Суть этой теории заключается в следующем. Дифференциальное сечение процесса записывается в следующем общем виде

$$\frac{d\sigma}{d\Omega} = \frac{1}{2} \left(\frac{k}{E} \right)^2 \frac{2J_f + 1}{2J_i + 1} \sum_{\sigma_i, \sigma_f, M_i, M_f} \left| f_{i f}(\mathbf{k}_i, \mathbf{k}_f) \right|^2 \quad (1)$$

Здесь амплитуда $f_{i f}(\mathbf{k}_i, \mathbf{k}_f)$ рассеяния нуклона с импульсом \mathbf{k}_i и проекцией спина σ_i при переходе в конечное состояние с импульсом \mathbf{k}_f и проекцией спина σ_f , M_i проекция спина ядра-мишени, а M_f проекция спина ядра отдачи отличная от нуля в случае неупругого рассеяния,

$$f_{i f}(\mathbf{k}_i, \mathbf{k}_f) = -\frac{m}{2\pi\hbar^2} \langle J_f M_f | \int d\mathbf{r} \psi_f^{*(-)}(\mathbf{r}) V(\mathbf{r}, \xi) \psi_i^{(+)}(\mathbf{r}) | J_i M_i \rangle \quad (2)$$

Волновая функция ядерного состояния $|JM\rangle$ зависит от соответствующих координат внутреннего движения ξ нуклонов ядра. Волновые функции относительного движения падающих и рассеянных нуклонов, как решения уравнения Шредингера, принимают следующий вид

$$\psi^{(\pm)}(\mathbf{k}, \mathbf{r}) = \exp \left\{ i \left[\mathbf{k} \mathbf{r} \mp \Phi^{(\pm)}(\mathbf{k}, \mathbf{r}) \right] \right\} \quad (3)$$

где искажающий член в фазе-

$$\Phi^{(\pm)}(\mathbf{k}, \mathbf{r}) = \frac{m}{\hbar^2 k} \int_0^\infty V(\mathbf{r} \mp \xi \mathbf{s}) ds \quad (4)$$

При вычислении (4) предполагается, что траектории рассеянных частиц есть прямые линии. Следуя [1] для искажающего члена получаем

$$\Phi^{(\pm)}(\mathbf{k}, \mathbf{r}) = -\frac{m}{\hbar^2 k^2} V(0)(\mathbf{k}\mathbf{r}) - \frac{ma}{2\hbar^2 k} (\mathbf{k}\mathbf{r})(3k^2 r^2 + (\mathbf{k}\mathbf{r})^2) \mp b[\mathbf{r}\mathbf{k}]^2 \pm c[\mathbf{r}\mathbf{k}]^4 \quad (5)$$

Теперь в рамках ВЭП пренебрегая потерей энергии падающего нуклона $\Delta E \ll E$, где $E = \frac{\hbar^2 k^2}{2m}$, и полагая

при этом $|\mathbf{k}_i| = |\mathbf{k}_f| = k$, представим

$$\psi_f^{*(-)} \psi_i^{(+)} = \exp \left[i \mathbf{q} \mathbf{r} + i \Phi(\mathbf{r}) \right], \quad (6)$$

где $\mathbf{q} = \mathbf{k}_i - \mathbf{k}_f$ - импульс передачи ядру мишенью.

Здесь

$$\Phi(\mathbf{r}) = \frac{V(0)}{2E} ((\mathbf{k}_i, \mathbf{r}) - (\mathbf{k}_f, \mathbf{r})) - \frac{ka}{12E} (3k^2 r^2 (\mathbf{k}_i, \mathbf{r} - \mathbf{k}_f, \mathbf{r}) + 2(\mathbf{k}_i, \mathbf{r})^3 - 2(\mathbf{k}_f, \mathbf{r})^3) - b \left([\mathbf{r}\mathbf{k}_i]^2 + [\mathbf{r}\mathbf{k}_f]^2 \right) + c \left([\mathbf{r}\mathbf{k}_i]^4 + [\mathbf{r}\mathbf{k}_f]^4 \right)$$

(7) За время пролета быстрого протона через ядро можно пренебречь изменением положений нуклонов в ядре. Рассеяние происходит в основном вперед - на малые углы. Рассеиваемый нуклон последовательно взаимодействует с несколькими нуклонами ядра,

которые встречаются на его пути. Поэтому, как следствие короткодействующего характера нуклон-нуклонного взаимодействия, рассеяние нуклона на ядре можно записать как последовательность однократных рассеяний. Учитывая это, ядерный потенциал представляем как интеграл составляющих взаимодействий $v(\mathbf{r}-\mathbf{x})$ падающей частицы с отдельными нуклонами рассеивающего ядра

$$V(\mathbf{r}, \xi) = \int v(\mathbf{r} - \mathbf{x}) \cdot \rho(\mathbf{x}, \xi) d\mathbf{x} \quad (8)$$

Так как энергия связи нуклонов ядра мала по сравнению с энергией налетающего протона, то эффектами связи нуклонов можно пренебречь и, следовательно, потенциал нуклон-нуклонного взаимодействия можно выразить через амплитуды рассеяния на свободных нуклонах, которые определяются из решения уравнения Шредингера [4]

$$f_{NN}(\mathbf{k}', \mathbf{k}) = -\frac{\mu_0}{2\pi \hbar^2} \int e^{-i\mathbf{k}'\mathbf{r}'} v(|\mathbf{r}'|) \psi_{\mathbf{k}}(\mathbf{r}') d\mathbf{r}', \quad (9)$$

где $\mu_0 = \frac{m_p m_N}{m_p + m_N}$ - приведенная масса, а m_p - масса падающего протона, m_N - масса нуклона в ядре мишени.

Волновая функция падающего нуклона при этом имеет вид:

$$u_{\mathbf{k}}(\mathbf{r}) = \exp \left\{ i \mathbf{k} \mathbf{r} - \frac{i}{\hbar x} \int_{-\infty}^z x(\mathbf{c} + \xi \mathbf{z}') dz' \right\} \quad (10)$$

Учитывая (10) в (9), для амплитуды рассеяния получим следующее выражение

$$f_{NN}(\mathbf{q}') = -\frac{\mu_0}{2\pi \hbar^2} \int e^{i\mathbf{q}'\mathbf{r}'} v^{uc}(|\mathbf{r}'|) d\mathbf{r}' \quad (11)$$

где $\mathbf{q}' = \mathbf{k} - \mathbf{k}'$ импульс передачи падающей частицы нуклону мишени.

Здесь искаженный нуклон-нуклонный потенциал принимает следующий вид:

$$v^{uc}(\mathbf{r}) = v(\mathbf{r}) \exp \left\{ -\frac{im}{\hbar^2 k} \int_{-\infty}^z v dz' \right\} \quad (12)$$

Учитывая Фурье-преобразование амплитуды $f_{NN}(\mathbf{q}')$ в (8), для ядерного потенциала получаем

$$V(\mathbf{r}, \xi) = -\frac{\hbar^2}{(2\pi)^2 \mu_0} \int e^{i\mathbf{q}'(\mathbf{r}-\mathbf{x})} f_{NN}(\mathbf{q}') \rho(\mathbf{x}, \xi) d\mathbf{q}' d\mathbf{x} \quad (13)$$

Здесь для нуклон-нуклонной амплитуды выбирается следующая параметризация [7]:

$$f_{NN}(\mathbf{q}') = \frac{ik\sigma}{4\pi} (1 - i\varepsilon_0) e^{-\beta^2 q'^2} \quad (14)$$

Подставляя (6) и (13) в (2) и при этом производя замену переменных $\mathbf{u} = \mathbf{r} - \mathbf{x}$, а также используя в фазовой функции следующее разложение:

$$\Phi(\mathbf{u} + \mathbf{x}) = \Phi(\mathbf{x}) + \nabla\Phi(\mathbf{u} + \mathbf{x})_{u=0} \mathbf{u} + \dots, \quad (15)$$

для амплитуды рассеяния получаем

$$f_{if}(\mathbf{q}) = \frac{-\hbar^2}{(2\pi)^2 \mu_0} \int e^{i(\mathbf{q}_\Phi - \mathbf{q}) \cdot \mathbf{u}} f_{NN}(\mathbf{q}') \cdot e^{i(\mathbf{q}\mathbf{x} + \Phi(\mathbf{x}))} \rho(\mathbf{x}) d\mathbf{u} d\mathbf{q} d\mathbf{x} \quad (16)$$

где

$$\mathbf{q}_{\Phi} = \mathbf{q} + \nabla\Phi(\mathbf{u} + \mathbf{x})|_{u=0} \quad (17)$$

Здесь плотность выражена через радиальную переходную плотность ядра $\rho_L(x)$. Для дифференциального сечения получаем

$$\frac{d\sigma}{d\Omega} = \left(\frac{k^2}{4\pi E} \right)^2 \frac{1}{2} \frac{2J_f + 1}{2J_i + 1} \sum_{LM} \frac{1}{2L+1} \left| F_{LM}(\mathbf{q}) \right|^2, \quad (18)$$

где формфактор

$$F_{LM}(\mathbf{q}) = \int e^{i[\mathbf{q}\mathbf{x} + \Phi(\mathbf{x})]} f_{NN}(\mathbf{q}_{\Phi}) \rho_L(x) Y_{LM}^*(\boldsymbol{\epsilon}) d\mathbf{x} \quad (19)$$

Таким образом, задача вычисления сечения сводится к вычислению формфактора (19). С этой целью, выделяя из искажающего члена в фазе малый параметр $\gamma = f_\pi^2 = 0.08$ константа связи, определяемой из эксперимента нуклон-нуклонного рассеяния [8] и перепишем формфактор в следующем виде:

$$F_{LM}(\mathbf{q}) = \frac{ik\sigma(1-i\epsilon_0)}{4\pi} \int J(\mathbf{q}, \mathbf{x}) \rho_L(x) Y_{LM}^*(\boldsymbol{\epsilon}) d\mathbf{x} \quad (20)$$

здесь

$$J(\mathbf{q}, \mathbf{x}) = \exp \left[i\mathbf{q}\mathbf{x} + i\gamma\chi_1(\mathbf{x}) + \gamma^2\chi_2(\mathbf{x}) \right] \quad (21)$$

Разложим $J(\mathbf{q}, \mathbf{x})$ по степеням $\gamma \ll 1$ в ряд

$$J(\mathbf{q}, \mathbf{x}) = \sum_{n=0}^{\infty} \gamma^n J_n(\mathbf{x}), \quad (22)$$

где

$$J_0(\mathbf{x}) = e^{i\mathbf{q}\mathbf{x}} \quad (23)$$

Напишем производную выражения (22) по γ в следующем виде:

$$\frac{\partial J(\mathbf{q}, \mathbf{x})}{\partial \gamma} = [i\chi_1(\mathbf{x}) + 2\gamma\chi_2(\mathbf{x})] J(\mathbf{q}, \mathbf{x}) \quad (24)$$

С другой стороны, разлагая (24) по степеням γ в ряд и сопоставляя его с производной от (22) по γ , получаем следующую рекуррентную формулу

$$(n+1)J_{n+1}(\mathbf{x}) = i\chi_1(\mathbf{x})J_n(\mathbf{x}) + 2\gamma\chi_2(\mathbf{x})J_{n-1}(\mathbf{x}) \quad (25)$$

$n = 1, 2, 3, \dots,$

где

$$J_1(\mathbf{x}) = i\chi_1(\mathbf{x})J_0(\mathbf{x}) \quad (26)$$

Эта рекуррентная формула позволяет выразить все члены в (22) через более простое выражение $J_0(\mathbf{x})$.

Таким образом, формфактор (20) принимает следующий вид:

$$F_{LM}(\mathbf{q}) = \frac{ik\sigma(1-i\epsilon_0)}{4\pi} \int e^{i\mathbf{q}\mathbf{x}} \mathfrak{R}(\mathbf{x}) \rho_L(x) Y_{LM}^*(\boldsymbol{\epsilon}) d\mathbf{x} \quad (27)$$

где

$$\mathfrak{R}(\mathbf{x}) = 1 + i\Phi(\mathbf{x}) - 4\beta^2 \mathbf{q} \nabla \Phi(\mathbf{u} + \mathbf{x})|_{u=0} - \Phi^2(\mathbf{x})/2 - 4i\beta^2 \mathbf{q} \Phi(\mathbf{x}) \nabla \Phi(\mathbf{u} + \mathbf{x})|_{u=0} + 8\beta^4 \mathbf{q}^2 (\nabla \Phi(\mathbf{u} + \mathbf{x})|_{u=0})^2 \quad (28)$$

Для вычисления (27) необходимо перейти от трехмерного интеграла к одномерному. После интегрирования по углам для $F_{LM}(\mathbf{q})$ получаем

$$F_{LM}(q) = \frac{k\sigma(1-i\epsilon_0)}{2} e^{-q^2\beta^2} \sum_{\epsilon=\pm 1} \int_0^\infty \mathfrak{R}(x\epsilon) \frac{e^{iqx\epsilon}}{qx + 4iq^2\beta^2\epsilon} \rho_L(x) Y_{LM}^* x^2 dx \quad (29)$$

В дальнейшем, задача нахождения формфактора сводится к вычислению одномерных интегралов (29). С этой целью рассмотрим, упругое рассеяние протонов на сферических ядрах.

Анализ сечений с помощью теории многократного рассеяния протонов промежуточных энергий позволяет получить достаточно точную информацию о нуклонных распределениях в ядрах. Известно, что быстрые протоны имеют приблизительно одинаковую чувствительность к протонам и к нейтронам ядра. Поэтому из данных по рассеянию протонов на ядрах можно извлечь сведения об изоскалярной плотности, т.е. о сумме распределений нейтронной и протонной плотностей

$$\rho(r) = \rho_p(r) + \rho_n(r) \quad (30)$$

Распределения плотностей протонов и нейтронов выбраны в виде ферми - функций:

$$\rho_i(r) = \rho_{oi} \left(1 + e^{\frac{r-c}{b_i}} \right)^{-1} = \rho_{oi} \tilde{\rho}(r|b_i), \quad (31)$$

$i = p, n$

Вычисление формфактора (29) упругого рассеяния протонов с ферми - плотностью (31) проведено с применением полюсного метода [2].

Экспериментальные данные по упругому рассеянию протонов с энергией ~ 1 ГэВ на ядрах ^{40}Ca , ^{48}Ca , ^{90}Zr и ^{208}Pb [7,9] проанализированы в рамках теории многократного рассеяния в искаженно-волновом ВЭП. Наилучшее согласие теоретических сечений, достигнутое при определенных наборах значений параметров протонов и нейтронов, приведено на рис.1 и 2, а сами параметры и вычисленные с помощью них, среднеквадратичные радиусы протонного $\langle r_p^2 \rangle^{1/2}$, нейтронного $\langle r_n^2 \rangle^{1/2}$, и нуклонного $\langle r_N^2 \rangle^{1/2}$ распределений даны в таблице.

Хорошее согласие сечений получено при $b_p = b_n = b$, это означает что, толщины поверхностного слоя протонов и нейтронов в сферических ядрах

не различаются. Это еще раз свидетельствует тому, что быстрые протоны на поверхностях в сферических ядрах не «чувствуют» тонкую структуру. Как известно, тонкая структура в распределениях плотности протонов выявляется при учете трехпараметрической ферми-функции в упругом рассеянии электронов на ядрах [10].

Для того, чтобы выполнялось (30), выберем распределение протонных и нейтронных плотностей в следующем общем виде:

$$\rho_{p(n)}(r) = \frac{1}{2} [1 \mp \beta(r)] \tilde{\rho}(r), \quad \beta(r) = \alpha_0 - \alpha_1 \frac{r^2}{c^2},$$

где параметр $\alpha_0 = (N - Z)/(N + Z)$ соответствует приближению пропорциональных плотностей, $\alpha_1 = (Z/A)W$, где W некоторый варьируемый параметр, характеризующий тонкую структуру распределений плотности протонов, который заимствуется из упругого рассеяния электронов на ядрах [10]. Таким образом, распределения плотности протонов и нейтронов в ядрах соответственно принимают следующий вид:

$$\rho_{p(n)}(r) = \rho_{0p(n)}^0 \left(1 \pm W_{p(n)} \frac{r^2}{2c^2} \right) \tilde{\rho}(r), \quad (32)$$

где $\rho_{op}^0 = (Z/A)\rho_0$, $\rho_{on}^0 = (N/A)\rho_0$, а параметры, характеризующие тонкую структуру в распределении плотностей протонов и нейтронов, связаны между собой следующим образом: $W_p = W$,

$W_n = (Z/N)W_p$. ρ_0 определяется из условия нормировки распределения плотности нуклонов ядра. Все расчеты проведены с использованием значений параметров элементарных амплитуд (24) согласно данным по упругому нуклон-нуклонному рассеянию [11]: $\sigma = 4.4\Phi_M^2$, $\beta^2 = 0.2\Phi_M^2$, $\varepsilon_0 = 0.25$.

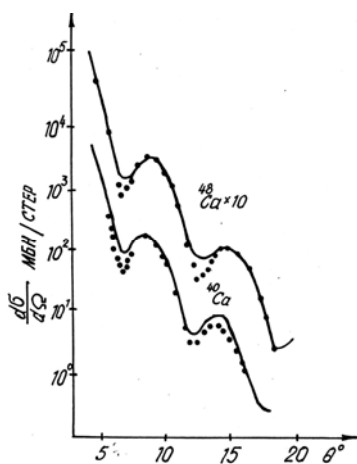


Рис. 1. Дифференциальные сечения упругого рассеяния протонов с энергией 1 ГэВ на ^{40}Ca и ^{48}Ca . Точки – экспериментальные данные. Сплошные линии – сечения, рассчитанные методом искаженных волн.

При сравнении расчетных сечений с экспериментальными видно, что на правых склонах дифракционных пиков согласие хорошее, однако имеется некоторое превышение расчетных значений в области дифракционных минимумов и на левых склонах.

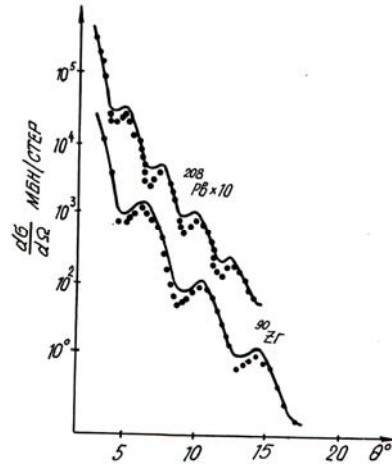


Рис.2 То же что на рис.1, но для ядер ^{90}Zr и ^{208}Pb .

На рис. 3 приведены графики распределения плотностей протонов и нейтронов. Параметры этих распределений получены из совместного анализа экспериментальных сечений в искаженно-волновом ВЭП протонного и электронного рассеяния на соответствующих ядрах [10]. Как видно из этого рисунка, в отличие от нейтронного распределения, плотность протонного распределения, начиная с поверхности ядер медленно падает, а затем с приближением к центру слабо возрастает. Такое поведение плотности протонов получившее название формы “дна винной” бутылки подтверждается в экспериментах по упругому рассеянию поляризованных протонов на ядрах [12].

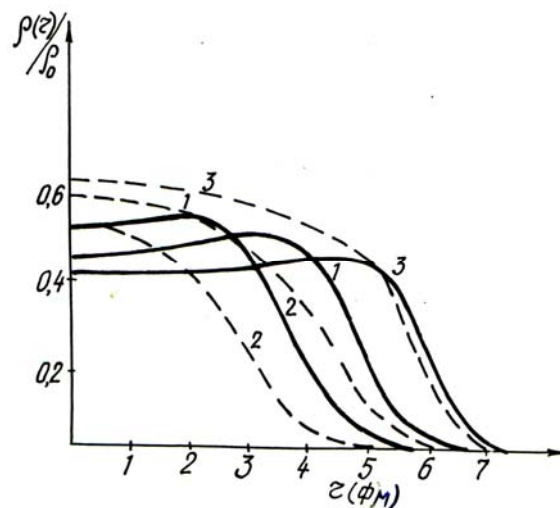


Рис. 3. Распределения плотности протонов (сплошная линия), нейтронов (штриховая): 1 – ^{90}Zr , 2 – ^{40}Ca , 3 – ^{208}Pb .

Таблица. Параметры, характеризующие распределение плотности протонов, нейтронов и нуклонов

Ядра	W_p	W_n	$t = 4.4b$ ФМ	$\langle r_p^2 \rangle^{1/2}$ ФМ	$\langle r_n^2 \rangle^{1/2}$ ФМ	$\langle r_N^2 \rangle^{1/2}$ ФМ	$c \cdot A^{-1/3}$ ФМ
^{40}Ca	0.60	0.60	2.260	3.920	2.662	3.705	1.020
^{48}Ca	0.64	0.43	2.480	3.590	2.754	3.184	1.023
^{90}Zr	0.40	0.32	2.306	4.308	4.207	4.220	1.040
^{208}Pb	0.60	0.39	1.710	5.482	4.982	5.266	1.048

ЗАКЛЮЧЕНИЕ

На основе теории многократного рассеяния в искаженно-волновом ВЭП в аналитическом виде, получено выражение для дифференциального сечения, которое позволяет изучать структуры атомных ядер с помощью упругого рассеяния протонов. При вычислении формфактора полученного в искаженно-волновом приближении, предложен математический метод. С помощью этого метода получена рекуррентная формула, которая позволяет придать формфактору более простой вид.

Полученные выражения применены для анализа упругого рассеяния протонов с энергией ~ 1 ГэВ, в

сферических ядрах ^{40}Ca , ^{48}Ca , ^{90}Zr , ^{208}Pb . Из наилучшего согласия экспериментальных и теоретических сечений определены параметры, характеризующие распределений плотности протонов и нейтронов в ядрах. При этом все используемые параметры заимствованы из эксперимента. Параметр W , описывающий тонкую структуру в распределении протонов на поверхности ядер, был взят из электронного рассеяния на этих же ядрах, полученного в искаженно-волновом приближении.

-
- | | |
|--|--|
| [1]. D.R.Jennie, F.L.Boss, and D.G.Revenhall, Phys. Rev. <u>137B</u> , 882 (1965). | [8]. J.P.Auger, A.Tellez-Arenas, and G.Lazard, J.Phys. <u>12</u> , 317 (1986) |
| [2]. В.К. Лукьянов, Ю.С.Поль, ЭЧАЯ <u>5</u> , 955 | [9]. H.F.Arellano and F.A.Brieva, Phys. Rev. <u>54</u> , 2570 (1996). |
| [3]. М.М.Мирабуталыбов ЯФ <u>67</u> , 2171 (2004) | [10]. А.В.Джавадов, М.М.Мирабуталыбов Изв. АН СССР. Сер. физ. <u>42</u> , 1869 (1978). |
| [4]. А.В.Джавадов, М.М.Мирабуталыбов, Изв. АН СССР. Сер. физ. <u>40</u> , 2156 (1976). | [11]. Т.Д.Алхазов, Изв. АН СССР. Сер. физ. <u>48</u> , 1858 (1984).. |
| [5]. R.J. Glauber, Lect. There. Phys. (N.Y.) <u>1</u> , 315 (1959). | [12]. L.G.Arnold, B.C.Clark, <i>et al.</i> , Phys. Rev.C <u>23</u> , 616 (1981). |
| [6]. А.Г. Ситенко, Укр. физ. журн. <u>4</u> , 152 (1959). | |
| [7]. Markus, Phys. Rev. Lett. <u>78</u> , 4161 (1997). | |